



مجله علوم و تکنولوژی پلیمر،

سال بیست و دوم، شماره ۲،

صفحه ۱۵۷-۱۴۸، ۱۳۸۸

ISSN : 1016-3255

اثر خاک‌های رس متفاوت و پلی‌استیرن اصلاح شده با مالئیک‌انیدرید بر نانوکامپوزیت‌های پلی‌استیرن-خاک رس

محمود محراب زاده^{*}، موسی کمال^۲

۱- تهران، پژوهشگاه پلیمر و پتروشیمی ایران، صندوق پستی ۱۴۹۶۵-۱۱۵

۲- کانادا، مونترال، دانشگاه مک گیل، دانشکده مهندسی شیمی

دریافت: ۸/۲/۲۳، پذیرش: ۸/۴/۷

نانوکامپوزیت‌های پلیمری موضوع جدیدی در پژوهش‌های کنونی ایران و دنیا به شمار می‌روند. در نانوکامپوزیت‌های پلیمری افزایش مقدار کمی خاک رس (۲ تا ۵ درصد) خواص فیزیکی و مکانیکی، گرمایی، نفرذناپذیری و اشتغال‌ناپذیری بسیار خوبی را فراهم می‌سازد. پلی‌استیرن دارای استحکام و مدول زیاد و پایداری ابعادی عالی است. اما، از دیاد طول و مدول خمشی ضعیفی دارد که با افزودن خاک رس می‌توان این خواص را بهبود بخشید. در این مقاله، نانوکامپوزیت‌های پلی‌استیرن-خاک رس مطالعه شد و اثر خاک‌های رس متفاوت کلویزیت ۱۰A و نانومر I.30TC و پلی‌استیرن اصلاح شده با مالئیک‌انیدرید روی خواص مکانیکی نانوکامپوزیت تأثیر شده ارزیابی شده است. نمونه‌ها در اکسیژن دو مر پیچی تهیه شدند و با دستگاه پراش پرتو X (XRD) و میکروسکوپ الکترونی عبوری (TEM) مقدار بین لایه‌ای شدن یا ورقه‌ای شدن لایه‌های سیلیکاتی ارزیابی و ساختار نمونه‌ها مشاهده شد. نتایج بررسی خواص مکانیکی نشان می‌دهد، با افزایش خاک‌رس به ویژه به همراه پلی‌استیرن اصلاح شده مدول خمشی (به مقدار حدود ۲۰ درصد) و از دیاد طول تا پارگی (به مقدار حدود ۴۰ درصد) نانوکامپوزیت بهبود یافته است. نتایج XRD و TEM ساختاری بین لایه‌ای با پتانسیل ورقه‌ای شدن را نشان می‌دهد.

واژه‌های کلیدی

نانوکامپوزیت، پلی‌استیرن،
پلی‌استیرن اصلاح شده،
خاک رس، ورقه‌ای شدن

*مسئول مکاتبات، پیام‌نگار:

m.mehrabzadeh@ippi.ac.ir

Effects of Different Types of Clays and Maleic Anhydride Modified Polystyrene on Polystyrene/Clay Nanocomposites

M. Mehrabzadeh^{*} and M.R. Kamal²

1. Iran Polymer and Petrochemical Institute, P.O. Box: 14965-115, Tehran, Iran
2. Department of Chemical Engineering, McGill University, Montreal, Quebec, Canada

Received 13 May 2009, accepted 28 June 2009

Abstract

Polymer/clay nanocomposites are considered as a new subject of research in Iran and the world. Addition of a minimum amount of clay (2-5wt%) can improve the mechanical properties, enhance barrier properties and reduce flammability dramatically. Polystyrene (PS) exhibits high strength, high modulus and excellent dimensional stability, but it has poor ductility, elongation, and flexural modulus. By incorporating clay into polystyrene these properties can be improved. In this study preparation of polystyrene/clay nanocomposite, effects of different types of clays (Cloisite 10A and Nanomer I.30TC) and maleic anhydride modified polystyrene on mechanical properties of the prepared polystyrene/clay nanocomposites were evaluated. Samples were prepared by a twin screw extruder. Transmission electron microscopy (TEM) and X-ray diffraction (XRD) techniques were employed to evaluate the extent of intercalation and exfoliation of silicate layers in the nanocomposites. Mechanical tests show that by addition of clay and maleic anhydride modified polystyrene the flexural modulus (~30%) and elongation-at-break (~40%) of prepared nanocomposites have been improved. XRD and TEM results show that nanocomposite have an intercalated structure with ability to change to further exfoliation structure.

Key Words

nanocomposite, polystyrene,
modified polystyrene,
clay, exfoliation

(*) To whom correspondence should be addressed.

E-mail: m.mehrabzadeh@ippi.ac.ir

مقدمه

اصلاح خاک رس از دی‌اتیل‌اکتیل آمونیوم اتیل مرکاپتان برومید استفاده کرده‌اند. این ترکیب به عنوان اصلاح‌کننده خاک رس و نیز به عنوان عامل انتقال زنجیر استفاده شده است. آنها قابلیت بین‌لایه‌ای شدن و ورقه‌ای شدن را به همراه خواص گرمایی و شکل‌شناسی نانوکامپوزیت‌ها مطالعه کرده‌اند.

Samakande و همکاران [۱۴] آزویس (۲-۱) هیدروکسی اتیل) -۲-آمیدازولین-۲- ایل (پروپان) دی‌هیدوکلرید مونوهیدرات را برای اصلاح سطح خاک رس سدیم مونت‌موریلونیت به کار برده‌اند. نانوکامپوزیت حاصل از این خاک رس اصلاح شده با پلی‌استیرن به روش پلیمرشدن درجا خواص پایداری گرمایی بسیار خوبی نشان داده است. آنها هم‌چنین مواد برپایه آکریلیک رانیز برای اصلاح خاک رس به کار گرفته‌اند [۱۵].

Sorrentino و همکاران [۱۶] خاک رس اصلاح شده به همراه پلی‌استیرن هم‌نظم را به طور مستقیم در دستگاه تزریق برای ساخت قطعات تزریقی به کار گرفته‌اند. آنها گزارش کرده‌اند، افزودن درصد بسیار کم خاک رس اصلاح شده (۱ درصد) به پلی‌استیرن هم‌نظم به طور اساسی پنجره فراورش مواد را توسعه داده و آن را بهبود می‌بخشد. Xiaoxia و همکاران [۱۷] از خاک رس به شکل اولیگومری اصلاح شده به همراه مالئیک اندیدرید در تهیه نانوکامپوزیت پلی‌استیرن - خاک رس استفاده کرده و نشان داده‌اند که مالئیک اندیدرید سازگاری خاک رس و پلی‌استیرن را بهبود می‌دهد.

در مطالعه حاضر، نانوکامپوزیت پلی‌استیرن با خاک رس اصلاح شده به روش فرایند مذاب در اکسترودر دومارپیچی تهیه شده است. در این پژوهش از خاک‌های رس اصلاح شده متفاوت استفاده شده تا نمونه خاک رس مناسب انتخاب شود. در ضمن، از پلی‌استیرن اصلاح شده با مالئیک اندیدرید نیز برای سازگاری بیشتر استفاده شده است. اثر خاک رس روی دمای انتقال شیشه‌ای پلی‌استیرن و خواص مکانیکی نانوکامپوزیت بررسی و به کمک آزمون‌های XRD و TEM ساختار نمونه‌ها ارزیابی شده است.

نوآوری کار حاضر در دست‌یابی به خاک رس اصلاح شده مناسب برای پلی‌استیرن و علت آن و استفاده از پلی‌استیرن اصلاح شده با مالئیک اندیدرید به منظور ارزیابی اثر آن روی نانوکامپوزیت حاصل به روش اختلاط در حالت مذاب در اکسترودر دومارپیچی است. نتایج نشان می‌دهد، این انتخاب در بهبود خواص نانوکامپوزیت نقش مؤثری دارد. اثر خاک رس اصلاح شده روی دمای انتقال شیشه‌ای پلی‌استیرن نیز بررسی شده است.

نانوکامپوزیت‌ها به ویژه نانوکامپوزیت‌های پلیمری با خاک رس سیلیکاتی لایه‌ای، مانند خاک رس مونت‌موریلونیت جای‌گزین خوبی برای کامپوزیت‌های معمولی‌اند. با افزودن حداقل خاک رس (۲ تا ۵ درصد) به پلیمر، در نانوکامپوزیت حاصل خواص مکانیکی و دوام گرمایی بهبود یافته [۱-۳] و خواص نفوذناپذیری بهتر [۴] و اشتغال پذیری کمتری [۵] ایجاد می‌شود. نانوکامپوزیت‌های پلیمری بر مبنای خاک رس برخلاف کامپوزیت‌های معمولی قابل بازیافت نیز هستند. به طور کلی، بهبود در خواص نانوکامپوزیت‌ها به دلیل سه عامل زیر است:

- مساحت سطح بسیار زیاد و نسبت طول به قطر زیاد،
- پراکندگی خاک رس در پلیمر در سطح میکروسکوپی و
- پیوندهای یونی بین پلیمر و خاک رس.

به منظور سهولت وارد شدن زنجیرهای پلیمری به داخل لایه‌های خاک رس سیلیکاتی، خاک رس به کمک نمک‌های آلکیل آمونیوم با واکنش تبادل کاتیونی اصلاح می‌شود و آلکیل آمونیوم سطح خاک رس آب دوست را آلى دوست می‌سازد. اگرچه خاک رس اصلاح شده با پلیمرهای قطبی مانند نایلون [۶] و رزین اپوکسی [۷] امتزاج پذیراست، اما به خوبی در پلیمرهای ناقطبی مانند پلی‌اتیلن و پلی‌بروپیلن پراکنده نمی‌شود [۸].

محراب‌زاده و همکاران [۹،۱۰] گزارش کرده‌اند، افزایش پلی‌اتیلن اصلاح شده با مالئیک اندیدرید باعث بهبود خواص نانوکامپوزیت‌های پلی‌اتیلن - خاک رس، پلی‌اتیلن - پلی‌آمید ۶ - خاک رس و پلی‌اتیلن - پلی‌آمید ۶۶ - خاک رس می‌شود.

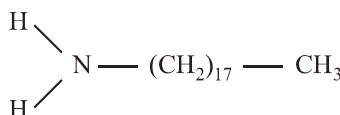
پلی‌استیرن (PS) یکی از پرمصرف‌ترین پلاستیک‌های است. پلی‌استیرن معمولاً پلیمری شیشه‌ای (بی‌شکل) است که استحکام و مدول زیادی دارد و از پایداری ابعادی عالی نیز برخوردار است. اما، قابلیت مفتول شدن (ductility)، از دیاد طول و مدول خمشی ضعیفی دارد که با افزودن خاک رس می‌توان این خواص را بهبود بخشید.

Cho و همکاران [۱۱] سنتز پلی‌استیرن با خاک رس را به روش پلیمرشدن تهیه و گزارش کرده‌اند که نانوکامپوزیت حاصل پایداری گرمایی بیشتری نسبت به پلی‌استیرن خالص نشان می‌دهد. Zeng و همکاران [۱۲] هم نانوکامپوزیت پلی‌استیرن - خاک رس را به روش پلیمرشدن در جا تهیه کرده‌اند و گزارش کرده‌اند که پایداری ابعادی پلی‌استیرن بهبود یافته است.

Akat و همکاران نیز [۱۳] نانوکامپوزیت پلی‌استیرن و پلی‌متیل متاکریلات را از راه پلیمر شدن رادیکال آزاد تهیه کرده‌اند. آنها برای

تجربی

مواد



شکل ۲- ساختار اصلاح‌کننده خاک رس نانومر I.30TC.

نانوکامپوزیت تهیه شده ۵ درصد وزنی و مقدار پلی‌استیرن اصلاح شده به مقدار ۱۰ درصد وزنی از نمونه رقیق شده بود. خاک رس به وسیله تغذیه کننده دوم به دستگاه اکسترودر اضافه می‌شد و در اثر برش مکانیکی و گرما داخل زمینه پلی‌استیرن در اکسترودر دومارپیچی پراکنده می‌شد.

آزمون‌ها

DSC آزمون

برنامه گرمایی زیر برای انجام آزمون گرماسنجی تفاضلی پویشی به کار گرفته شد:

- قرار دادن در دمای 50°C به مدت ۱ min،
- افزایش دما از 50°C تا 200°C با سرعت $40^{\circ}\text{C}/\text{min}$
- قرار دادن در دمای 200°C به مدت ۵ min،
- کاهش دما از 200°C تا 20°C با سرعت $40^{\circ}\text{C}/\text{min}$
- قرار دادن در دمای 20°C به مدت ۵ min و
- کاهش دما تا 20°C با سرعت $10^{\circ}\text{C}/\text{min}$.

افزایش و کاهش دما در جو نیتروژن انجام شد.

آزمون خمس

آزمون خمس طبق استاندارد ASTM D790 انجام شد. آزمون روی نمونه‌ها به ابعاد $5 \times 125 \text{ cm}$ و بر اساس خمس سه نقطه‌ای با سرعت $2/5 \text{ cm/min}$ انجام شد. نتایج میانگین حداقل ۵ آزمون گزارش شده است.

آزمون کشش

برای انجام آزمون کشش از همان دستگاه آزمون خمس طبق استاندارد ASTM D638 استفاده شده است.

جدول ۱- برنامه گرمایی اکسترودر.

حدیده	بدنه اکسترودر						تغذیه	ناوهی گرمایی
	H6	B5	B4	B3	B2	B1	دما (°C)	
۲۱۰	۲۰۰	۲۰۰	۱۸۵	۱۸۵	۱۸۰	۱۷۰		

در این پژوهش، از پلی‌استیرن Styron 685D با وزن مولکولی 704 g/cm^3 و وزن مخصوص $300,000 \text{ g/mol}$ استفاده شد. سازگارکننده به کار برده شده، پلی‌استیرن اصلاح شده با مالئیک ایندراید (Dylark 332) حاوی $14/4$ درصد وزنی مالئیک ایندراید پیوند شده روی پلی‌استیرن محصول شرکت Nova Chemical بود که تا $2/88$ درصد وزنی با پلی‌استیرن رقیق و به مقدار ۱۰ درصد وزنی به عنوان اصلاح‌کننده در نانوکامپوزیت‌های تهیه شده استفاده شد.

مشخصات دو نوع خاک رس اصلاح شده به قرار زیر بود:

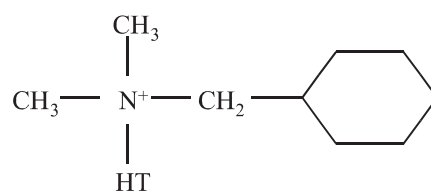
- کلویزیت 10A (Cloisite 10A)، مونت‌موریلونیت طبیعی اصلاح شده با نمک آمونیم چهارتایی ساخت شرکت Southern، ترکیب اصلاح‌کننده خاک رس نمک آمونیوم چهارتایی دی‌متیل، بنزیل، Tallow هیدروژن دار شده (2MBHT) است (شکل ۱).
- نانومر I.30TC (Nanomer I.30TC)، مونت‌موریلونیت اصلاح شده با (۱۵ تا ۳۰ درصد) اکتاکسیل آمونیوم ساخت شرکت Nanocor (شکل ۲).

دستگاه‌ها

در این پژوهش، گرماسنج تفاضلی پویشی مدل Perkin Elmer DSC7 دستگاه Instron سری IX برای انجام آزمون خمس و کشش، میکروسکوپ الکترون عبوری (TEM) مدل JEM 2000 FX و اکسترودر دومارپیچی مدل Berstorff به کار گرفته شد.

روش‌ها

برای تهیه نانوکامپوزیت‌ها از اکسترودر دومارپیچی با سرعت 200 rpm و حدیده شیارد (slit die) استفاده شد. برنامه گرمایی به کار گرفته در جدول ۱ آمده است. مقدار خاک رس مصرف شده برای تمام نمونه‌های



شکل ۱- ساختار اصلاح‌کننده خاک رس کلویزیت 10A که در آن HT، Hیدروژن دار شده (۶۵ درصد C_{18} ، 30 درصد C_{16} و 5 درصد C_{14}) است.

آزمون پراش پرتو X (XRD)

از دستگاه پراش پرتو X با زاویه باز در دمای محیط و دامنه زاویه ۱۰-۲۰ درجه سلسیوسی ارزیابی توسعه ساختار بین لایه‌ای شدن یا ورقه‌ای شدن لایه‌های سیلیکاتی در نانوکامپوزیت تهیه شده استفاده شد. پرتو X به کار برد شده CuK_{α} است و پرتودهی در 45 kV و 130 mA ($\lambda = 0.1541 \text{ nm}$) انجام شد.

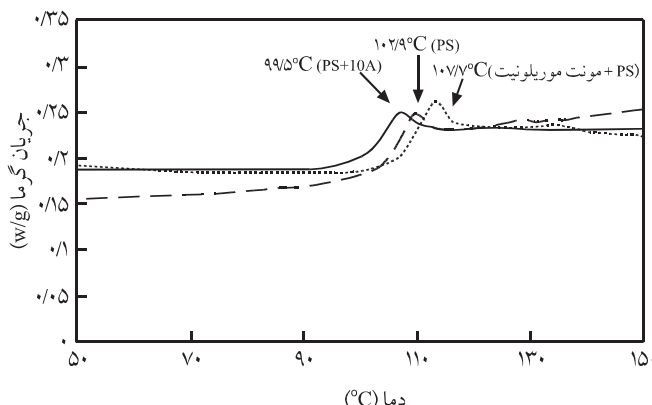
میکروسکوپ الکترونی عبوری

برای بررسی مقدار پراکنش خاک رس اصلاح شده در پلی استیرن و ارزیابی مقدار ورقه‌ای شدن یا بین لایه‌ای شدن نانوکامپوزیت‌های تهیه شده از میکروسکوپ الکترون عبوری (TEM) استفاده شد. نمونه‌ها برای آزمون TEM به ضخامت حدود $50-70 \text{ nm}$ با دستگاه فرانازک بر (ultra microtomy) و با کارد الماسی تهیه شدند.

نتایج و بحث

اثر خاک رس اصلاح شده روی دمای انتقال شیشه‌ای پلی استیرن
به نظر می‌رسد، افزایش خاک رس باید دمای شیشه‌ای پلی استیرن را افزایش دهد که به دلیل محدودیتی است که در حرکت زنجیرهای پلیمر به وجود می‌آورد. اما، خاک رس اصلاح شده سبب کاهش دمای انتقال شیشه‌ای پلی استیرن شده است. دلیل این امر می‌تواند وجود حدود ۲۵ درصد اصلاح کننده در خاک رس باشد که به عنوان نرم کننده عمل می‌کند. اصلاح کننده نمک آمونیوم چهارتایی دی‌متیل - Tallow هیدروژن دار شده است که C_{18} درصد C_{16} و 5 درصد C_{14} است. واضح است که این ترکیب می‌تواند به عنوان نرم کننده عمل کند. مطابق شکل ۳، پلی استیرن حاوی خاک رس اصلاح نشده دمای انتقال شیشه‌ای بالاتر و پلی استیرن حاوی خاک رس اصلاح شده دمای انتقال شیشه‌ای پایین‌تر نسبت به پلی استیرن خالص دارد.

اثر خاک رس اصلاح شده و پلی استیرن اصلاح شده روی ساختار بین لایه‌ای شدن یا ورقه‌ای شدن نانوکامپوزیت‌های پلی استیرن
به منظور ارزیابی مشارکت خاک رس در زمینه پلیمری از دستگاه پراش پرتو X و میکروسکوپ الکترونی عبوری استفاده شده است. به کمک پراش پرتو X می‌توان فاصله بین لایه‌های خاک رس را اندازه‌گیری کرد و مقدار بین لایه‌ای شدن و ورقه‌ای شدن را در نمونه‌های نانوکامپوزیت‌های تهیه شده بررسی کرد.

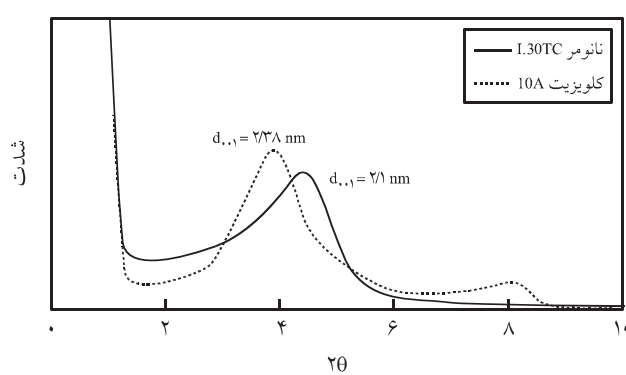


شکل ۳ - نمودار گرماسنجی تفاضلی پویشی پلی استیرن خالص و پلی استیرن به همراه خاک رس اصلاح شده و نشده.

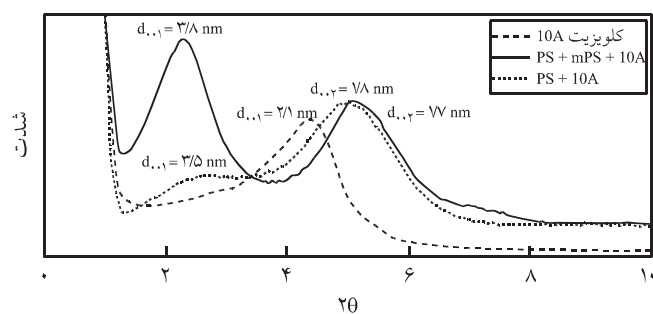
در شکل ۴، نمودار XRD کلویزیت 10A و نانومتر I.30TC آمده است. همان‌طور که مشاهده می‌شود، فاصله لایه‌ها در نانومتر I.30TC (۲/۳۸ nm) بیشتر از فاصله لایه‌ها در کلویزیت 10A (۰/۷ nm) است که این امر به ساختار مولکولی اکتاپلی‌آمین مربوط است.

شکل ۵ نمودار XRD پلی استیرن با خاک رس I.30TC را نشان می‌دهد. در این شکل بین لایه‌ای شدن نانوکامپوزیت حاصل قابل مشاهده است. فاصله لایه‌ها از 2.3 nm به 3.3 nm افزایش یافته است. در ضمن، پیک دوم $d_{002} = 0.7 \text{ nm}$ به پراش از لایه‌ها دوم سیلیکات است که معمولاً مقدار ۲۰ آن دو برابر مقدار پیک اولی است [۱۰].

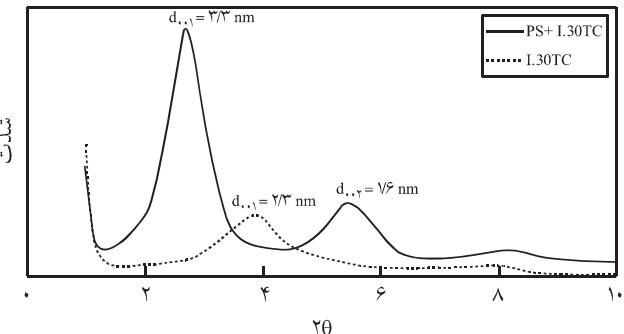
شکل ۶ نمودار XRD پلی استیرن و خاک رس به همراه پلی استیرن اصلاح شده و نانومتر I.30TC است. همان‌طور که مشاهده می‌شود، پلی استیرن اصلاح شده باعث افزایش بیشتر فاصله لایه‌های خاک رس شده و مقدار آن از 3.3 nm (شکل ۵) به 3.5 nm (شکل ۶) افزایش یافته است. این امر به دلیل اصلاح پلی استیرن با مالئیک ایندیرید است که سازگاری نانوکامپوزیت را با خاک رس بیشتر کرده است.



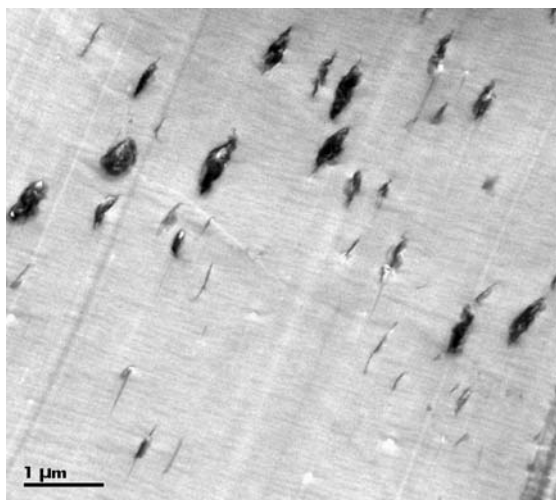
شکل ۴ - نمودار XRD کلویزیت 10A و نانومتر I.30TC.



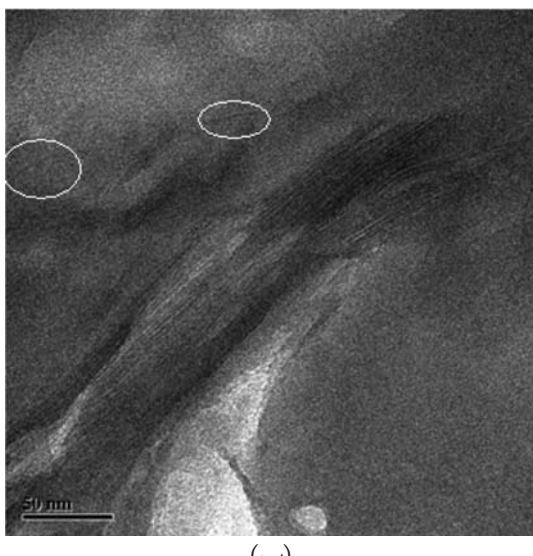
شکل ۷ - نمودار XRD مربوط به کلویزیت 10A و پلی استیرن با خاک رس و پلی استیرن اصلاح شده.



شکل ۵ - نمودار XRD نانومر I.30TC و پلی استیرن اصلاح شده با آن.



(الف)



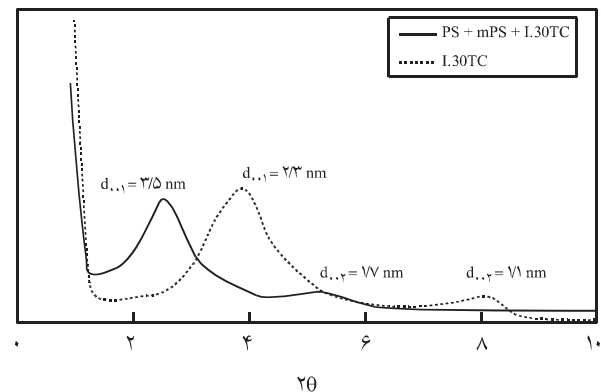
(ب)

شکل ۸ - تصاویر TEM: (الف) توزیع یکنواخت خاک رس در پلی استیرن و (ب) ساختار بین لایه ای شدن نانوکامپوزیت های پلی استیرن و خاک رس.

همان طور که در شکل ۷ مشاهده می شود، کلویزیت 10A ساختار بین لایه ای شده نانوکامپوزیت های پلی استیرن را بهبود بخشیده است. فاصله لایه در پلی استیرن با کلویزیت 10A به $3/5\text{ nm}$ و مقایسه با نانومر I.30TC که $3/3\text{ nm}$ است، افزایش یافته و در پلی استیرن با کلویزیت 10A و پلی استیرن اصلاح شده نیز فاصله لایه ها به $3/8\text{ nm}$ ، $3/5\text{ nm}$ (شکل ۷) در مقایسه با فرمول بندي مشابه و با نانومر I.30TC ($3/5\text{ nm}$) (شکل ۶) بهبود مشاهده شده است. علت اين بهبود به دليل سازگاري بيشتر خاک رس اصلاح شده کلویزیت 10A به دليل وجود حلقه بنزنی موجود در ساختار عامل اصلاح کننده کلویزیت 10A و پلی استیرن است. بنابراین، نوعی از خاک رس اصلاح شده را باید انتخاب کرد که عامل اصلاح کننده آن سازگاری بهتری با زمینه پلیمری داشته باشد.

آزمون میکروسکوپی الکترون عبوری (TEM)

شکل ۸ تصاویر میکروسکوپی الکترون عبوری نانوکامپوزیت پلی استیرن به همراه پلی استیرن اصلاح شده و کلویزیت 10A را نشان می دهد. شکل ۸ - الف نشان می دهد که کلویزیت 10A پراکنش نسبتاً



شکل ۶ - نمودار XRD نانومر I.30TC و پلی استیرن با خاک رس و پلی استیرن اصلاح شده.

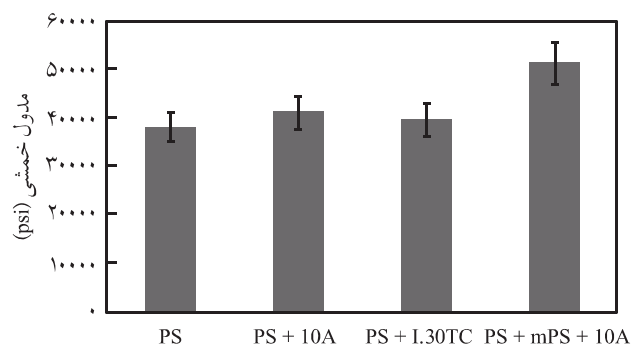
زیرا، اصلاح کننده استفاده شده (مالئیک ایندیرید) برای اصلاح پلی‌استیرن چسبندگی بین سطحی بین پلیمر و خاک رس را افزایش می‌دهد. کلویزیت 10A بهبود بیشتری نسبت به نانومتر I.30TC در مدول خمثی ایجاد می‌کند. این امر به دلیل سازگاری بیشتر و ساختار بین لایه‌ای شدن بهتر نانوکامپوزیت‌های حاصل با کلویزیت 10A است که در بخش آزمون XRD به آن اشاره شد.

آزمون ازدیاد طول تا پارگی

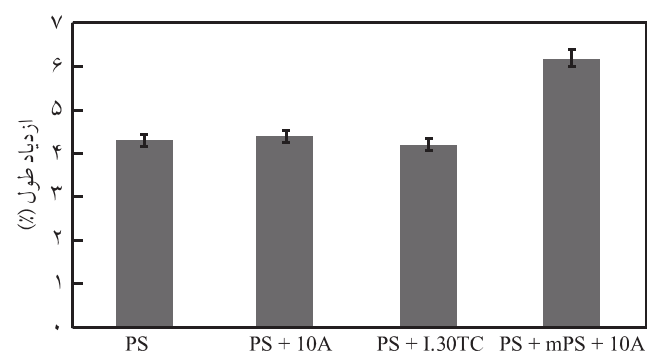
شکل ۱۰ نشان می‌دهد که هر دو خاک رس کلویزیت 10A و نانومتر I.30TC دارای اثر کمی روی بهبود ازدیاد طول تا پارگی پلی‌استیرن خالص هستند. این اثر همانند آزمون خمثی در باره خاک رس کلویزیت 10A کمی بیشتر است. افزایش پلی‌استیرن اصلاح شده باعث بهبود بیشتر افزایش طول تا پارگی نانوکامپوزیت‌های حاصل می‌شود که دلایل این افزایش همانند دلایلی است که در بخش آزمون خمثی به آن اشاره شد.

نتیجه‌گیری

نتایج این پژوهش نشان می‌دهد، انتخاب نوع خاک رس (کلویزیت 10A) که سازگاری بیشتر با زمینه پلیمری دارد و استفاده از پلی‌استیرن اصلاح شده با مالئیک ایندیرید که باعث سازگاری بیشتر می‌شود، خواص نانوکامپوزیت را بیشتر بهبود می‌دهد. نتایج پراش پرتو X و میکروسکوپی الکترونی عبوری نشان می‌دهد که نانوکامپوزیت حاصل از پلی‌استیرن و خاک رس اصلاح شده ساختار بین لایه‌ای شده دارد و خاک رس اصلاح شده کلویزیت 10A نسبت به خاک رس اصلاح شده نانومتر I.30TC سازگاری بهتری با پلی‌استیرن دارد. پلی‌استیرن اصلاح شده نیز باعث افزایش فاصله لایه‌های خاک رس می‌شود و در نانوکامپوزیت حاصل تک لایه‌ای خاک رس نیز دیده شده است. افزایش خاک رس به مقدار ۵ درصد باعث بهبود استحکام خمثی و ازدیاد طول تا پارگی می‌شود. هم‌چنین، افزودن ۱۰ درصد پلی‌استیرن اصلاح شده با مالئیک ایندیرید نیز باعث بهبود بیشتر استحکام خمثی (به مقدار حدود ۳۰ درصد) و ازدیاد طول تا پارگی (به مقدار ۴۰ درصد) نانوکامپوزیت‌های تهیه شده می‌شود. در ضمن خاک رس اصلاح شده سبب کاهش دمای انتقال شیشه‌ای پلی‌استیرن نیز می‌شود.



شکل ۹ - تغییرات مدول خمثی برای نمونه‌های پلی‌استیرن خالص و پلی‌استیرن با خاک‌های رس مختلف و پلی‌استیرن اصلاح شده.



شکل ۱۰ - تغییرات ازدیاد طول تا پارگی برای نمونه‌های پلی‌استیرن خالص و پلی‌استیرن با خاک‌های رس مختلف و پلی‌استیرن اصلاح شده.

خوبی در پلی‌استیرن به همراه پلی‌استیرن اصلاح شده دارد. از طرف دیگر، شکل ۸ - ب در بزرگ‌نمایی زیاد ساختار بین لایه‌ای شدن با پتانسیل مقدار ورقه‌ای شدن نانوکامپوزیت حاصل را نشان می‌دهد. این امر نتایج XRD را تأیید می‌کند. شایان ذکر است، در این شکل تعدادی لایه‌های خاک رس ورقه‌ای شده دیده می‌شود که داخل دایره در شکل ۸- ب نشان داده شده‌اند.

آزمون خمثی

مدول خمثی نشان‌دهنده نیروی لازم برای خم کردن نمونه است. بنابراین، اجسام دارای سفتی بیشتر مدل خمثی زیادتر دارند. افزایش خاک رس به پلی‌استیرن باعث بهبود مدل خمثی آن می‌شود. از طرف دیگر، پلی‌استیرن اصلاح شده با مالئیک ایندیرید باعث افزایش قابل ملاحظه مدول خمثی نانوکامپوزیت‌های حاصل می‌شود (شکل ۹).

مراجع

1. Pinnavaia T.J. and Beall G.W., *Polymer Clay Nanocomposites*, John Wiley, New York, 1989.
2. Alexandre M. and Dubois Ph., Polymer-layer Silicate Nanocomposite Preparation and Uses of a New Class of Materials, *Mater. Sci. Eng.*, **28**, 1-63, 2000.
3. Liao B., Song M., Liang H., and Pang Y., Polymer-layered Silicate as Fillers for Reinforcement of PE, *Polymer*, **42**, 10007-10011, 2001.
4. Choudalakis G. and Gotsis A.D., Permeability of Polymer/Clay Nanocomposites: A Review, *Eur. Polym. J.*, **45**, 967-984, 2009.
5. Morgan A.B., Flame Retarded Polymer Layered Silicate Nanocomposites: A Review of Commercial and Open Literature Systems, *Polym. Adv. Technol.*, **17**, 206-217, 2006.
6. Cho J.W. and Paul D.R., Nylon 6 Nanocomposites by Melt Compounding, *Polymer*, **42**, 1083-1094, 2001.
7. Kornmann X., Lindberg H., and Berglund L.A., Synthesis of Epoxy-Clay Nanocomposites. Influence of the Nature of the Curing Agent on Structure, *Polymer*, **42**, 4493-4499, 2001.
8. Manias E., Touny A., Wu L., Strawhecker K., Lu B., and Chung T.C., Polypropylene/Montmorillonite Nanocomposites: A Review of Synthetic Routes and Materials Properties, *Chem. Mater.*, **13**, 3516-3523, 2001.
9. Mehrabzadeh M. and Kamal M.R., Polymer-Clay Nanocomposites based on Blends of Polyamide and Polyethylene, *Canad. J. Chem. Eng.*, **80**, 1083-1092, 2002.
10. Mehrabzadeh M. and Kamal M.R., Melt Processing of PA-66/Clay, HDPE/Clay and HDPE/PA-66/Clay Nanocomposites, *Polym. Eng. Sci.*, **44**, 6, 1152-1161, 2004.
11. Doh J.G. and Cho I., Synthesis and Properties of Polystyrene-Organoammonium Montmorillonite Hybrid, *Polym. Bull.*, **41**, 511-518, 1998.
12. Zeng C. and Lee L.J., Poly(methyl methacrylate) and Polystyrene/Clay Nanocomposites Prepared by in-situ Polymerization, *Macromolecules*, **34**, 4098-4103, 2001.
13. Akat H. Tasdelen M.A., Prez F., and Yagci Y., Synthesis and Characterization of Polymer/Clay Nanocomposites by Intercalated Chain Transfer Agent, *Eur. Polym. J.*, **44**, 1949-1954, 2008.
14. Samakande A., Sanderson R.D., and Hartmann P.C., RAFT-mediated Polystyrene-Clay Nanocomposites Prepared by Making Use of Initiator-bound MMT Clay, *Eur. Polym. J.*, **45**, 649-657, 2009.
15. Samakande A., Sanderson R.D., Hartmann, P.C., Cloete V., and Sanderson R., Use of Acrylic Based Surfmers for the Preparation of Exfoliated Polystyrene-Clay Nanocomposites, *Polymer*, **48**, 1490-1499, 2007.
16. Sorrentino A., Pantani R., and Brucato V., Injection Molding of Syndiotactic Polystyrene/Clay Nanocomposites, *Polym. Eng. Sci.*, **46**, 1768-1777, 2006.
17. Xiaoxia Z., Jiang D.D., and Wilkie C.A., Polystyrene Nanocomposites based on an Oligomerically-modified Clay Containing Maleic Anhydride, *Polym. Degrad. Stab.*, **91**, 108-113, 2006.